

(311)

オーステナイトステンレス鋼の電解脱スケール

日本金属工業株 研究室

金子 智 ○井上裕夫
小森正祐, 工博 須永寿夫

I. 緒言

ステンレス鋼の連続焼鉄酸洗ラインの酸洗工程では電解と硝酸洗との組合せが一般に用いられている。硝酸洗の場合の脱スケール機構および液組成と脱スケール能力との関係については既に報告した。¹⁾ 本報では硫酸浴および硫酸ナトリウム浴における電解脱スケールについて Underscale 層の合金組成と電解溶出速度の関連を主に検討した。

I. 実験 硫酸浴(150%, 30°C)および硫酸ナトリウム浴(250%, 80°C)を電解液とし、直接電解によって脱スケールを行った。電極間距離は250mmとし、電極および供試料の形状は $2^{\frac{1}{2}} \times 50 \times 80\text{mm}$ とした。SUS 304 および SUS 316 as roll材をフタン焚炉にて焼鉄し($1150^{\circ}\text{C} \times 3\text{min}$)電解に供し、その溶解する金属イオンから各時期ににおける Underscale 層の組成を推定した。一方電解処理後に残留する表面のマルテンサイト相をX線回折強度変化より調べ、またXMAによる表面観察を行った。さらにSUS 304 およびSUS 316 の Underscale 層の組成に相当する試料をそれぞれ6種類、5kg型高周波誘導炉にて溶製し、アノード特性を比較した。

III. 結果 SUS 304 およびSUS 316 焼鉄試料の電解を行いながら溶出する金属イオンを経時的に定量し、溶解深さ(μ)および合金組成を求めると図-1の結果を得る。この結果より Underscale 層と脱スケールとの関係が得られた。ここでSUS 316 の Underscale 層ではSUS 304 のそれに比し、Cr減少が著しいことが判明した。また電解脱スケール後の表面のマルテンサイト量は電解時間、溶解深さに対応がある。このことからCrを2~18%の範囲で変化させた Fe-Cr-Ni 系および Fe-Cr-Ni-Mo 系の試料について硫酸および硫酸ナトリウム浴におけるアノード溶解時の溶出速度を測定した。

結果の一例を図-2に示す。硫酸中に於いて Fe-Cr-Ni 系の場合 10%Cr, Fe-Cr-Ni-Mo 系では 4%Cr に溶出速度の極少があり、極少を示す Cr 量よりさらに低 Cr 側が著しく溶出速度が大きい。

一方硫酸ナトリウム浴では硫酸浴よりも溶出速度が小さくなる。Cr濃度と溶出速度との関係は Fe-Cr-Ni 系および Fe-Cr-Ni-Mo 系とも同じ挙動を示し極少値が硫酸浴中に於ける Fe-Cr-Ni-Mo 系の場合とほぼ一致する。

硫酸および硫酸ナトリウムによる電解脱スケールにおいて、スケール直下のCr濃度の著しく低下した部分の溶出速度が極めて大きい。しかしCr濃度が高い程溶出速度が小さくなるのではなく、Underscale 層中には溶出速度の極少を示す Cr 濃度の部分が存在する。またSUS 304 と SUS 316 では Cr欠乏層の Cr 濃度分布がかなり異っている。

文献 1). 小森, 井上, 須永: 日本鉄鋼協会第84大会講演概要集 P-322.

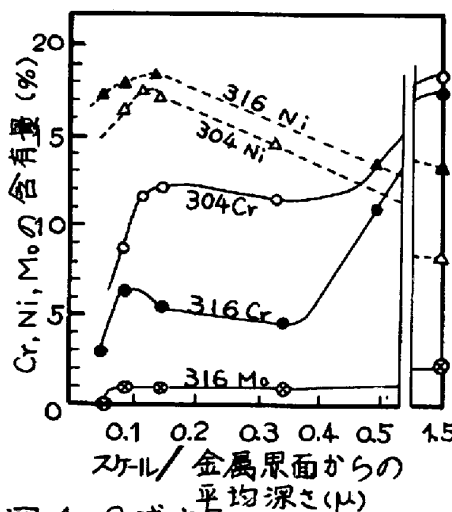


図-1 Cr減少層のCr, Ni, Mo, の分布(硫酸電解)

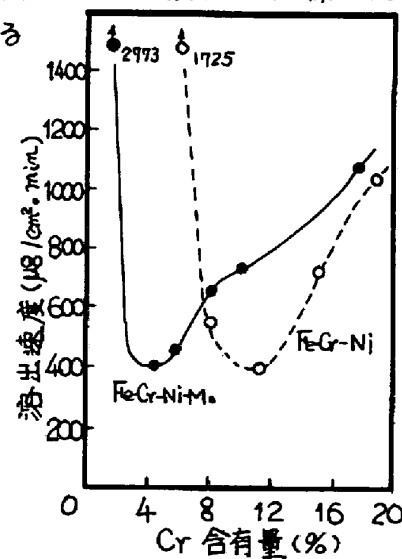


図-2 硫酸電解における Fe-Cr-Ni 合金, Fe-Cr-Ni-Mo 合金の溶出速度 (電流密度: 0.1A/cm²)